

К ВЫБОРУ ОПТИМАЛЬНОГО ЗАЗОРА В ДРОССЕЛЯХ
СГЛАЖИВАЮЩИХ ФИЛЬТРОВ*)

Аспирант Е. И. ГОЛЬДШТЕЙН

Для современных марок электротехнических сталей, в частности для Э-310, суммарная длина оптимального зазора $\delta_{\text{опт}}$ может быть определена по формуле из [1 стр. 107]:

$$\delta_{\text{опт}} = 1,6 \cdot 10^{-4} I_0 W \frac{Q_3}{Q_c} \quad [\text{см}], \quad (1)$$

I_0 — постоянная составляющая выпрямленного тока;

W — число витков обмотки дросселя;

Q_3 — «уширенная» площадь поперечного сечения зазора;

Q_c — площадь поперечного сечения стали сердечника.

В практике инженерных расчетов, в связи с трудностью определения величины Q_3 , пренебрегают «выпучиванием» и рассеянием магнитного потока [1 фор. (4, 5)]:

$$\delta_{\text{опт}} = 1,6 \cdot 10^{-4} I_0 W \quad [\text{см}] \quad (2)$$

Но использование формулы (2) приводит к заметным погрешностям, особенно при $I_0 W \geq 1000 \text{ ав}$, поэтому в большинстве случаев величину оптимального зазора приходится уточнять экспериментально. Задачей настоящей работы является получение графических зависимостей, пригодных для выбора оптимального зазора с учетом как «выпучивания» так и рассеяния магнитного потока.

Для связи между «уширенным» и истинным (Q_0) сечениями зазора используем выражение (3):

$$Q_3 = Q_0 k_\Phi, \quad (3)$$

где коэффициент фиктивного зазора K_Φ связывает реальный зазор δ с зазором δ_Φ фиктивного дросселя, имеющего те же геометрические размеры и проводимость основного зазора G_0 , равную полной проводимости G_n магнитной системы рассматриваемого дросселя, т. е.

$$K_\Phi = \frac{\delta}{\delta_\Phi} = \frac{G_n}{G_0} \quad (4)$$

*) Работа выполнена под руководством доктора технических наук, профессора И. Д. Кутявина.

Связь Q_0 с Q_C определяется выражением (5):

$$Q_C = Q_0 K_C, \quad (5)$$

где K_C — коэффициент заполнения сталью сердечника. Из (1) с учетом (3) и (5) получим:

$$\delta_{\text{опт}} = 1,6 \cdot 10^{-4} I_0 W \frac{K_\Phi}{K_C} \quad (6)$$

Перейдем к относительному воздушному зазору δ' и удельным ампервиткам $a\omega_0$:

$$\delta' = \frac{\delta}{l_C}, \quad (7)$$

$$a\omega_0 = \frac{I_0 W}{l_C}, \quad (8)$$

где l_C — длина силовой линии по стали.

Из (6), (7) и (8) получим:

$$\frac{\delta'_{\text{опт}}}{K_\Phi} = 1,6 \cdot 10^{-4} a\omega_0 \frac{1}{K_C}. \quad (9)$$

Для определения оптимального зазора по выражению (9) необходимо иметь зависимость $\delta'/K_\Phi = f(\sigma')$.

В [2] дана методика получения зависимости коэффициента выпучивания K_B от относительного зазора. Аналогично можно получить зависимости для коэффициента рассеяния K_P и коэффициента фиктивного зазора K_Φ , учитывая что: $K_\Phi = K_B + K_P - 0,5$. (10)

На рис. 1 и рис. 2 показаны П-образная схема и ее схема защемления. В таблице 1 приведены основные параметры геометрии, а также координаты полей выпучивания и рассеяния, используемые при определении отдельных проводимостей.

Таблица 1.

Основные размеры мм				Параметры геометрии			Координаты полей			
a	b	c	h	x	y	z	ψ'_B	θ''_B	θ_a	θ_{ga}
20	24	30	80	1,2	1,5	4	0,5c	a'	a	a

Коэффициент выпучивания определяется по выражению (11):

$$K_B = 0,5 \left(1 + g_{\text{пр}} \frac{\delta}{ax} \right), \quad (11)$$

0,5 — коэффициент, учитывающий наличие двух зазоров;
 $g_{\text{пр}}$ — приведенная проводимость.

$$g_{\text{пр}} = g_a + x(g'_B + 0,5g''_B). \quad (12)$$

Удельная проводимость g_a определяется как сумма удельных проводимостей с грани «а» (g_{ga}) и «ребер» торцевой поверхности (g_{pta}).

$$g_a = g_{ga} + g_{pta}. \quad (13)$$

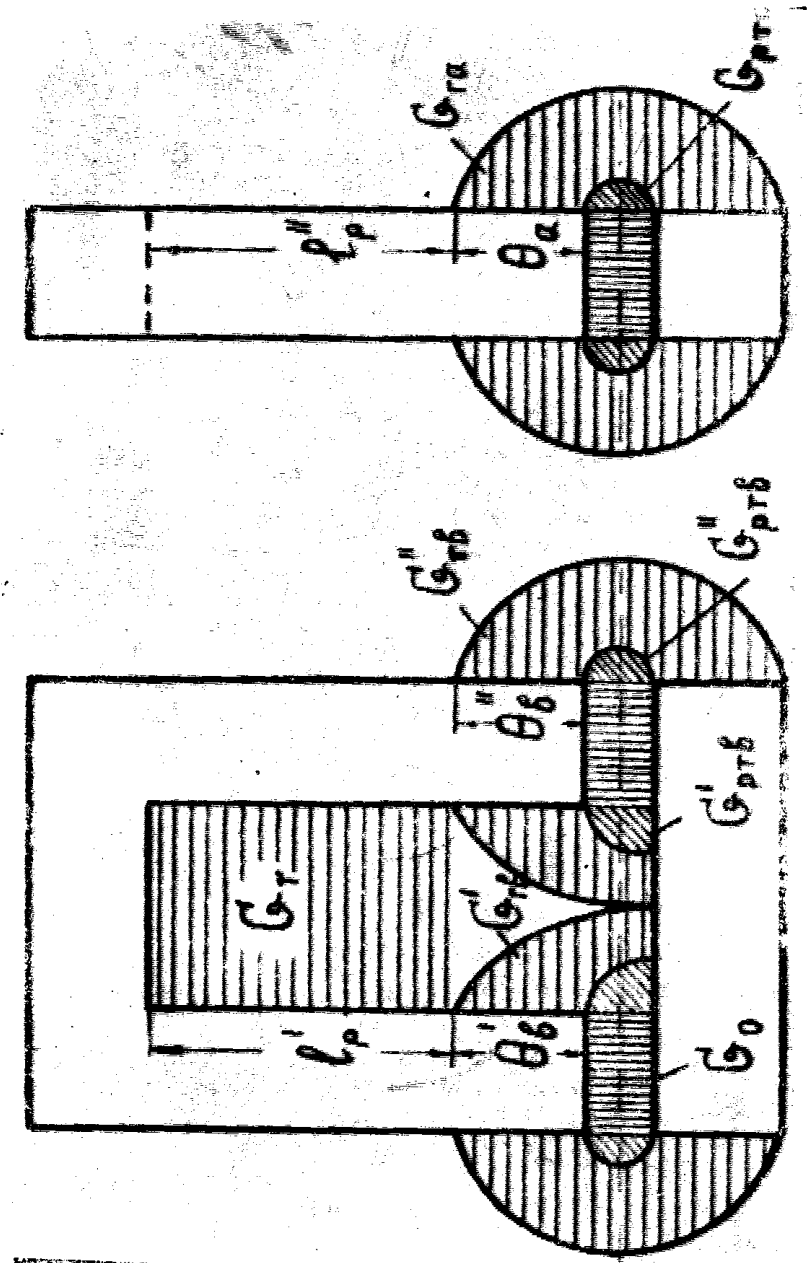


FIG. 1.

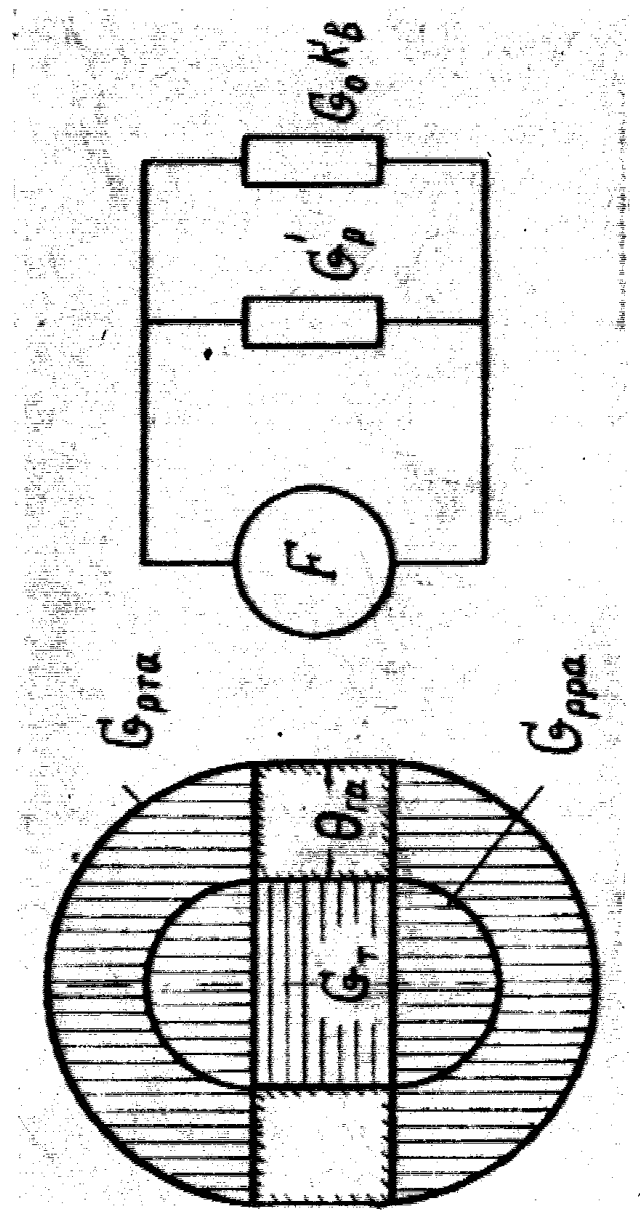


Рис. 2.

Аналогично:

$$g'_{\text{в}} = g'_{\text{гв}} + g'_{\text{ртв}}, \quad (14)$$

$$g''_{\text{в}} = g''_{\text{гв}} + g''_{\text{ртв}}. \quad (15)$$

Удельные проводимости с грани и «ребер» определяются по экспериментальным кривым, полученным Б. К. Булем [3, фиг. 6, 8, 9]. Использование указанных кривых позволяет учесть влияние на величину удельной проводимости размера полюса в направлении, перпендикулярном рассматриваемой грани (размер Ω). Для определения коэффициента рассеяния необходимо подсчитать полную проводимость рассеяния G_p :

$$G_p = G_t = 2G_{\text{пра}} + 2G_{\text{ппа}} \quad (16)$$

Проводимость между гранями «в»

$$G_t = \mu_0 \frac{b}{c} l'_{\text{п}}, \quad (17)$$

где расчетная длина поля рассеяния $l'_{\text{п}}$ определяется по соответствующей координате поля выпучивания

$$l'_{\text{п}} = h - \theta'_{\text{в}}. \quad (18)$$

Проводимость между гранями «а» $G_{\text{пра}}$ определяем, в соответствии с рекомендациями, по кривым Кремпа и Кольдервуда [3, фиг. 13]:

$$G_{\text{пра}} = 0,5\mu_0 g_{\text{пра}} l''_{\text{п}}, \quad (19)$$

причем расчетная длина этого поля рассеяния:

$$l''_{\text{п}} = h - \theta_a. \quad (20)$$

Аналогично определяется и проводимость между «ребрами» граней «а»:

$$G_{\text{ппа}} = 0,5\mu_0 g_{\text{ппа}} l''_{\text{п}}. \quad (21)$$

Здесь удельная проводимость, при использовании кривой Кремпа и Кольдервуда:

$$g_{\text{ппа}} = 0,1. \quad (22)$$

Из выражений (16)–(22), учитывая связь геометрических размеров с параметрами геометрии сердечника, получим:

$$K_p = 0,5 + 0,333 \frac{\delta}{a} \left[\frac{1}{y} \left(z - \frac{\theta'_{\text{в}}}{a} \right) + \frac{1}{x} \left(z - \frac{\theta_a}{a} \right) (g_{\text{пра}} + 0,1) \right] \quad (23)$$

Необходимо отметить, что выражение (23) получено для коэффициента рассеяния по числу потокосцеплений, т. е. для магнитной системы переменного тока при следующей связи между приведенной (G'_p) и геометрической (G_p) проводимостями рассеяния [4]

$$G'_p = 0,333G_p \quad (24)$$

В таблице 2 приведены основные этапы вычислений, необходимых для получения зависимости $\frac{\delta'}{K_{\Phi}} = f(\delta')$, построенной на рис. 3. На

этом же рисунке приведена зависимость $K_F = f(\delta')$ и показаны результаты ее экспериментальной проверки, проведенной при двух значениях относительного зазора.

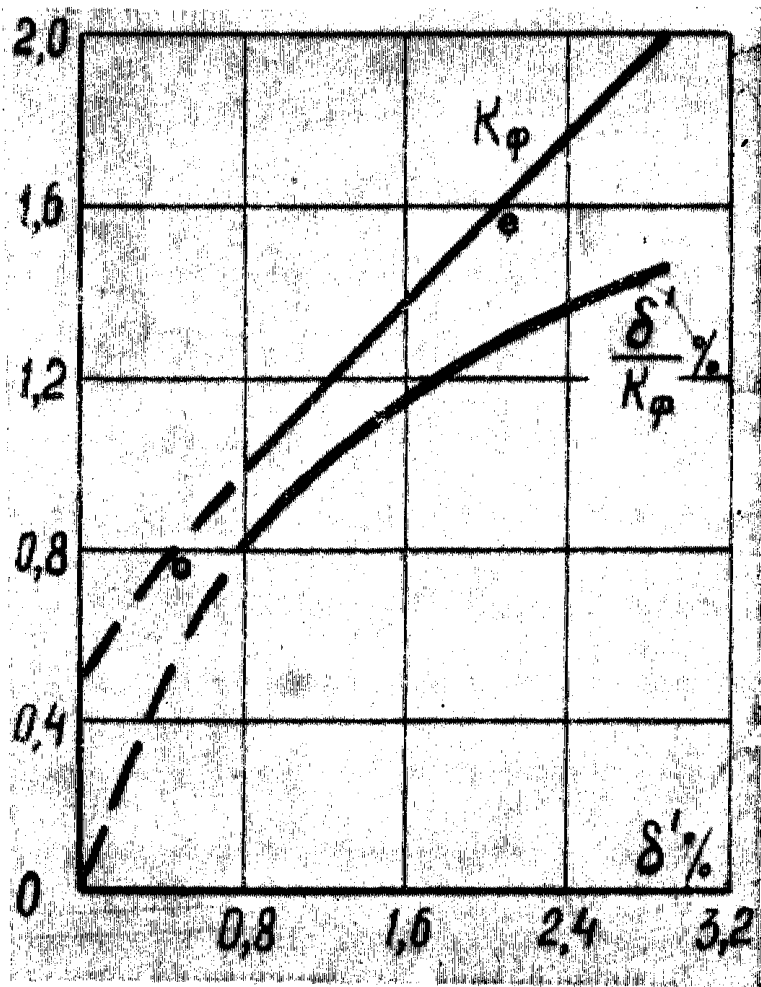


Рис. 3.

Сопоставление расчетных и экспериментальных данных для оптимального воздушного зазора сделано в таблице 3; причем необходимо обратить внимание, что кривые рис. 3 приведены к одному зазору, поэтому и расчетный σ' — на один зазор П—образной системы.

Таблица 2.

$\frac{\Omega}{\Delta} = \frac{a}{\delta}$	2,5	3	4	6	10	15	Примечание
$\frac{v'_B}{\Delta}$	1,88	2,25	3	4,5	7,5	11,3	$\Delta = \delta$
$\frac{\theta'_B}{\Delta}$	0,7	0,8	1,2	2,4	4,7	7,7	$\Omega = a$
g'_{TB}	0,74	0,68	0,86	1,18	1,5	1,71	

Таблица 2.

$\frac{\Omega}{\Delta} = \frac{a}{\delta}$	2,5	3	4	6	10	15	Примечание
$g'_{\text{РТВ}}$	0,35	0,34	0,33	0,31	0,29	0,28	
$g'_{\text{в}}$	1,09	1,02	1,19	1,49	1,79	1,99	
$\frac{\Omega}{\Delta}$	2,5	3	4	6	10	15	$\Omega = a$
$\frac{a}{\delta}$	1,25	1,5	2	3	5	7,5	$\Delta = 0,5\delta$
$\frac{\theta''_{\text{в}}}{\Delta}$	2,5	3	4	6	10	15	
$g''_{\text{ГВ}}$	1,6	1,66	1,75	1,93	2,16	2,33	
$g''_{\text{РТВ}}$	0,35	0,34	0,33	0,31	0,29	0,28	
$g''_{\text{в}}$	1,95	2,0	2,08	2,24	2,45	2,61	
$\frac{\Omega}{\Delta}$	2,5	3	4	6	10	15	$\Omega = ax$
$\frac{a}{\delta}$	1,04	1,25	1,67	2,5	4,18	6,25	$\Delta = 0,5\delta$
$\frac{\theta_a}{\Delta}$	2,08	2,5	3,34	5,0	8,36	12,5	$2x = 2,4$
$g_{\text{ра}}$	1,46	1,5	1,6	1,75	1,98	2,13	
$g_{\text{пра}}$	0,35	0,34	0,33	0,31	0,29	0,28	
g_a	1,81	1,84	1,93	2,06	2,27	2,41	
$\frac{a}{\delta}$	2,5	3	4	6	10	15	
g_a	2,06	2,14	2,26	2,4	2,63	2,80	
$x(g'_b + 0,5 g''_b)$	2,62	2,56	2,84	3,31	3,81	4,21	
$g_{\text{ПР}}$	4,68	4,70	5,10	5,71	6,44	7,01	
K_b	1,28	1,15	1,03	0,89	0,77	0,69	
$\frac{\theta'_b}{\delta}$	0,7	0,8	1,2	2,4	4,7	7,7	
$\frac{\theta'_b}{a}$	0,28	0,27	0,3	0,4	0,47	0,51	
$\frac{1}{y} \left(z - \frac{\theta'_b}{a} \right)$	2,48	2,49	2,47	2,4	2,36	2,33	
$\frac{1}{x} \left(z - \frac{\theta'_a}{a} \right) (g_{\text{пра}} + 0,1)$	2,7	2,7	2,7	2,7	2,7	2,7	$\frac{\theta'_{\text{ра}}}{\Delta} = \frac{a}{0,75a};$
K_p	1,69	1,58	1,43	1,28	1,17	1,11	$g_{\text{пра}} = 0,98;$
K_Φ	1,97	1,73	1,46	1,17	0,94	0,8	$l_c = 14,14a$
$\frac{\delta'}{\delta_0} \%$	2,82	2,35	1,77	1,18	0,71	0,47	
$\frac{\delta'}{K_\Phi} \%$	1,43	1,36	1,21	1,0	0,75	0,59	$\delta' = \frac{100}{a/\delta \cdot 14,14}$

При определении оптимального зазора было использовано выражение (25):

$$\frac{\delta'_{\text{опт}}}{K_{\Phi}} = \frac{K_{\delta}}{K_C} aw_0, \quad (25)$$

где K_{δ} из выражения (9) равен $1,6 \cdot 10^{-4}$.

Многочисленные эксперименты, проведенные автором на II и III — образных сердечниках, показали, что наилучшее совпадение расчетных и экспериментальных данных получается при коэффициенте K_{δ} равном $1,56 \cdot 10^{-4}$, что дает при $K_C = 0,9$ (для стали Э-310):

$$\frac{K_{\delta}}{K_C} = 1,4 \cdot 10^{-4} \quad (26)$$

Данные таблицы 3 подтверждают высказанные соображения.

Таблица 3.

Результаты эксперимента	Результаты расчета по выражению									Примечание	
	aw_0	при			при			по выра-			
		$\frac{K_{\delta}}{K_C} = 1,78 \cdot 10^{-4}$	$\frac{K_{\delta}}{K_C} = 1,4 \cdot 10^{-4}$	$\frac{K_{\delta}}{K_C} = 1,4 \cdot 10^{-4}$	δ'	$\delta' \%$	$\delta'_{\text{опт}}$	$\delta'_{\text{опт}}$	жениею (2)		
I_{O}	W	a	CM	$\frac{a}{CM}$	$\frac{\delta'}{K_{\Phi}}$	$\delta' \%$	$\delta'_{\text{опт}}$	$\frac{\delta'}{K_{\Phi}}$	$\delta' \%$	$\delta'_{\text{опт}}$	
I_{O}	W	a	MM	MM	MM	MM	MM	MM	MM	MM	
1	800	0,9	28,3	0,005	0,37	1,05	0,004	0,3	0,85	1,28	
2	800	2,0	56,6	0,010	1,2	3,4	0,008	0,77	2,2	2,56	
1,6	800	1,5	45,2	0,008	0,77	2,2	0,0064	0,51	1,44	2,05	
2	1200	5,0	85	—	—	—	0,012	1,72	4,86	3,84	
1,8	1600	8,3	102	—	—	—	0,0142	2,70	7,56	4,6	

ВЫВОДЫ

- Предлагаемая методика позволяет получить удобные для инженерных расчетов зависимости $K_{\Phi} = f(\delta')$ и $\frac{\delta'}{K_{\Phi}} = f(\delta')$ при $x = \text{const}$.
- Погрешности при использовании полученных зависимостей не превышают 10% в диапазоне $0,4 \leq \delta' \% \leq 3,0$.
- Представляется целесообразным получение указанных зависимостей для нормализованных сердечников ($z = \text{const}$, $y = \text{const}$) при нескольких значениях x , перекрывающих возможный диапазон изменения этого параметра.
- Для определения оптимального зазора при стали Э-310 следует использовать выражение (27):

$$\frac{\delta'}{K_{\Phi}} = 1,4 \cdot 10^{-3} aw_0 \quad (27)$$

ЛИТЕРАТУРА

- Бамдас А. М., Савиновский Ю. А., «Дроссели фильтров радиоаппаратуры» изд. «Советское Радио», 1962.
- Гольдштейн Е. И., «К учету выпучивания поля при расчете трансформаторов и дросселей с воздушными зазорами», Сборник трудов Томского филиала ВНИИЭМ, 1963.
- Буль Б. К., «Расчет магнитных проводимостей воздушных зазоров для круглых и прямоугольных полюсов». ВЗЭИ 1961.
- Ступель Ф. А., «Электромеханические реле». Изд. Харьковского университета, 1956.